

構造地質研究会誌

(第 10 号)

<研究紹介>

- 岩石の物性一ポアソン比の測定 宇井 啓高
有限要素法のすすめ 藤井 敬三
地殻の応力(直接)測定と“Standard state”について 垣見 俊弘
ボーリング・コアからみた褶曲(予報) 岩松 嘉
犀川流域地質(特に犀川断層)について 尾身 正弘
深さによる褶曲形態のちがいについて 角田 史雄
褶曲のモデル実験について 小玉 喜三郎
変質作用と深成作用 杉山 明
地震発生の地質学的条件について 鈴木 尉元
新潟堆積盆地の褶曲構造ーとくに褶曲方向に直交する構造単元と
そのなかでの褶曲構造について 三梨 昂

1971.4

構造地質研究会

岩石の物性一ポアソン比を測定する一

名古屋大学 宇井 啓高

1 ポアソン比を測定する意味

岩石のポアソン比(以下 μ)の値は、岩石の種類によってまちまちなものであるということは定性的に理解されている。例えば石灰岩は600barくらいまでの応力に対して、0.2から0.3の値を示すに対し、花崗岩では0.1から0.2の値を示す場合が多いし、砂岩の場合には花崗岩の値よりやや小さい(S. P. CLARK (1966) : Handbook of physical constants)。 μ は1~2Kbの応力に対して、かなり変化すると言われている。2Kbくらいの応力で破壊する(一軸圧縮強度として)岩石は、花崗岩、砂岩、石灰岩などある。しかし、その破壊強度なるものばらつきはかなり大きく、強度の頻度曲線は非常に広い範囲にばらつく。

今まで μ を系統的に測定した実験はあまりみあたらない。この μ を系統的に測定って岩石の破壊時の条件をこの面から追求することは、地殻条件下における岩石物性を明らかにすることの他に、今後の構造地質学にも役立つと思われる。金属の μ と異なり岩石の μ が応力と共に変化するらしいことはPrice (1966)が述べている。そして、岩石は常温常圧下で比較的速い変形速度に対して、弾性的な挙動をするといわれている。野外の観察においても断層・節理が知られているし、この中には剪断性の節理(Shear fracture)も含まれることは事実と思われる。そこでこのShear fractureが発生するまでの μ の変化がすっきりと説明できるかどうかが今後の問題である。

2. 金属抵抗線歪計について

金属抵抗線歪計(strain gauge)は金属が伸びるとその電気抵抗が比例して大きくなることを利用して、歪変化を測定するものである。このgaugeを岩石の円柱状資料に

貼りつけ、縦の歪と横の歪の量を読みとる。横方向(円周方向)に貼ったgaugeの歪変化が縦方向(軸圧をかける方向)の歪変化に比例する(弾性変形の場合)と仮定すれば、円周方向に貼ったgaugeの歪変化の割り合いか μ となる。 $\mu = (\Delta d/d)/(\Delta l/l)$ ($\Delta l/l$: 縦方向の歪変化、 $\Delta d/d$: 円周方向(横方向の歪変化))である。

使用する金属抵抗線歪計の原理はKelvin郷(1856)が大西洋の海底電線の布設をするとき、海の深さを測定するための水圧計を考案したときに始まっている。そして、1930年頃から実用化が考えられ、第二次世界大戦を経て、とくにアメリカで急速に改良された。

gaugeには、抵抗線(ふつう Cu/Ni 合金が多く使われている)の形状により、格子型、糸巻型、平行型、リボンなど目的に応じて作られている。

予備実験に使用したgaugeは格子型ゲージで、抵抗値120Ω、歪感度係数(たて感度)2.0前後のものである。

次にgaugeの性質について考えてみると格子型ゲージの場合は、平行型ゲージと異なり横感度(ゲージの軸に直角な歪)がある。ふつう(横感度/縦感度)=Kの値は3%以下といわれている。その他、測定に際しては、温度の効果、ゲージを貼ったときの形による効果、湿度の効果なども考慮して実験結果を討検する必要がある。

予備実験でのゲージ使用法は1ゲージ法を採用し、はじめ(実験A)は温度保償用のダミー・ゲージの使用なしで行なった。実験Bでは1ゲージ法ではあるが、温度補償用ダミー・ゲージを用いた。

3 予備実験の結果

実験は油圧式一軸圧縮引張試験機(5ton)を用いた。圧力を上げるには手でポンプを上下させる。用

いられた資料は、結晶質石灰岩および手取層群上部和佐府互層中の中粒クレイワッケ砂岩である。資料は3つで、A-1 石灰岩(30mmφ, 75mmH), A-2 砂岩(30mmφ, 75mmH), B 砂岩(25mmφ, 62mmH)である。記録は歪用アダプターと増巾器およびペン書きオシロからなる直流回路のものと、真空管式万能歪増巾器とペン書きオシロからなる交流回路との二種類を各1つづつ用いている。(少しづつ機器をそろえてきたのでこのようになった。現在はトランジスタを使用した小型の直流歪増巾器が市販されている。本実験の直流式のものはこれと同じものである。)

実験はいずれのものも破壊にまで到らないで、試験機の能力一杯(5ton)までを数回くり返し、荷重を加えては減じ、また加えて減じをおこなって、測定した。荷重を加えるにあたっては、粘性土における圧密テストのように、一定の荷重を加えて、10秒放置しその後また荷重を加えていくという操作をおこなった。

次に実験結果を参照しながら(図-2,3,4)考察を加えてみよう。

全般的には非常にばらつきが大きい。その中でもとくに 200 Kg/cm^2 までの応力に対する μ のはらつきが大きい。これは油圧計の目盛の精度が100%であるためと 油圧ポンプ自体の原因によるものが大半であろうと思われるが、一方、岩石自身、低荷重に対するほど間隙を小さくする割り合いで大きいので、いわゆる圧密現象に似た現象を呈しているのかも知れない。それにしても石灰岩より砂岩の方が、このばらつきが大きいことは事実である。A-1, A-2は直徑30mm、高さ75mmの円柱状資料による結果であり、Bは直徑25mm、高さ62mmの資料である。A-2とBは同じものであるが、 μ のはらつきはA-2の方が大きい。AとBとでは前述のように実験条件が異なっているので比較はできないが、ここではやはり資料の大きさに対する考慮が必要であると思われる。Bでは、 μ の変化が順番にわかるようになっている。XSか

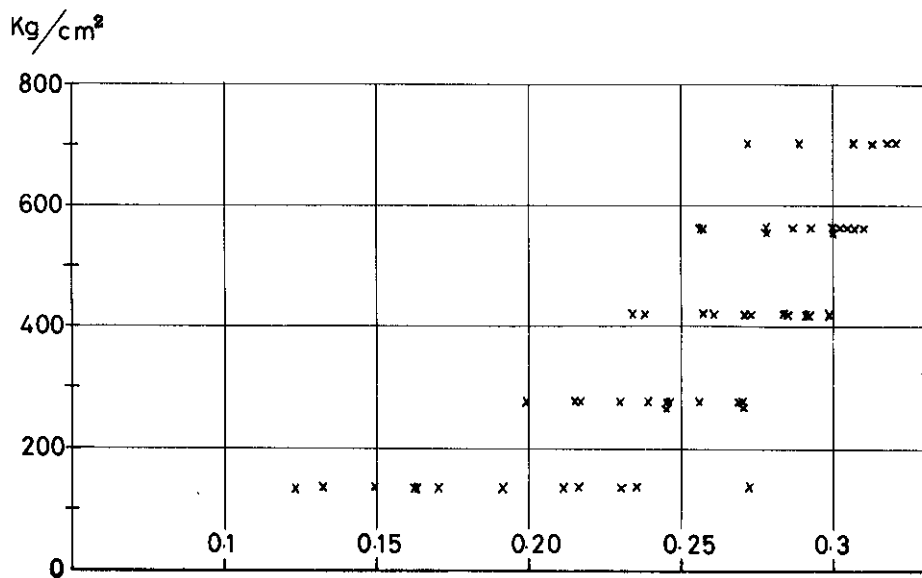
らけじまり、⑩Eで終るシリーズと、④Sではじまり、④Eで終るシリーズがある。(このうち、XS→⑩Eのシリーズの方が先におこなった実験である。荷重は小→大→小と与えられている) Bで見られる傾向は、ヒステリシスの存在を示唆しているように思われる。この傾向はAにおいてもみとめられた。この現象は、粘性土におけるTerzaghiの圧密理論に似たもので説明できるのかも知れないが、今後の検討を要する問題である。

4. 今後やること

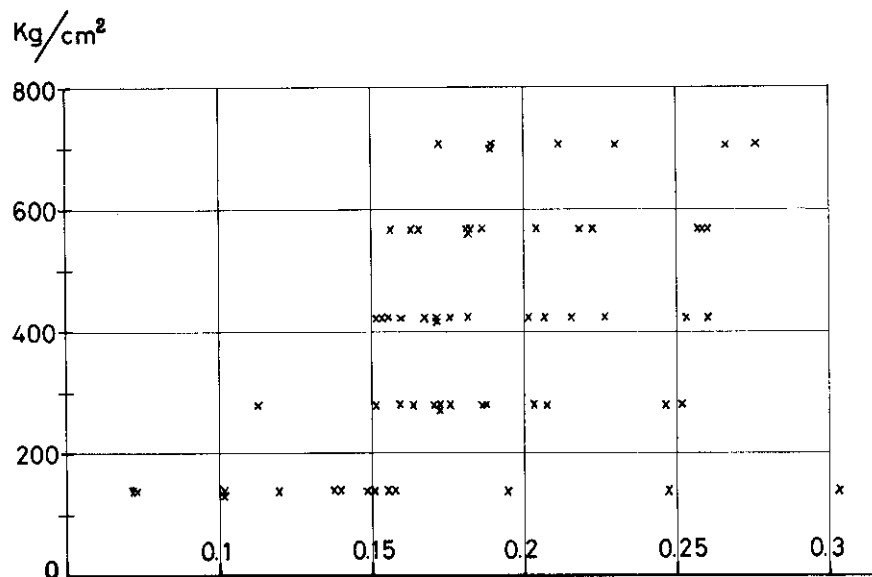
実験による測定値のはらつきがどの程度までおさえられるかが今後の大きな課題である。今まであくまでも予備的実験であったが、本格的には、やはり active gauge を2枚用いて、たて、よこ方向の歪を各々測定する必要がある。従って strain gauge は1つの実験に最低4枚必要となる。

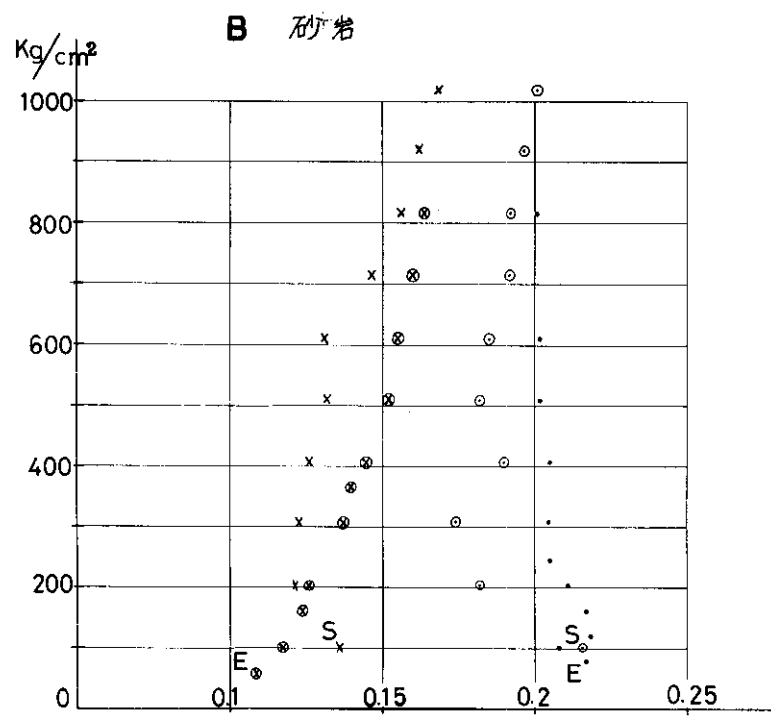
このような実験の結果をいかに野外の現象とうまく結びつけて考えるかは、本質的に重要なことであるが、その為にも野外調査をたいせつにしていきたいと思っている。

A-1 石灰岩



A-2 砂岩





有限要素法のすゝめ

地質調査所 藤井敬三

従来、地殻変動にさいして、地殻に働く応力の推定については、地球物理学的考察によってなされてきた。一般に応力変化の計算は断層模型を用いてなされているのが現状であります。

地質学の分野においても、地質学的手法により、地殻運動を考察し、応力についても言及しているが、定性的推定にとどまっている場合が多い。

そこで、私は、地質学的データから、応力計算が可能であるかどうか、さらには、地殻内部の物性、地殻内部で行なわれている諸過程の推察などが可能であるかどうかということに大いに興味を感じています。

キザに言えば、地質現象は全て地殻内部で行なわれている諸過程の表現であると思っています。

さて、まず第一に、応力計算の可能性を考えてみました。一般に、単層の集合からなる部層や累層の厚さは構造運動を反映している。すなわち、層厚の変化が、堆積前と堆積後における地殻の歪み量を反映していると考えられる。もしもこの仮定が正しいものならば、適当な力学モデルを設定し、適当な弾性定数、粘性係数などを仮定し、歪みと応力との関係式を用いて、私達が地表地質調査で得られた観測値（層厚変化）をインプット・データとして、地殻内部に働く応力を計算できる。

そこで、大事なことは、歪みと応力との関係式を求めることがある。

しかし、不連続物体の集合体とみなされる複雑な状態をなす岩体の挙動は、その状態により多様性を示し、力学的取扱いが困難な上に、形状が複雑で、境界条件がはなはだ面倒な場合が多い。

したがって、線形で単純な答である弾性解

にしても、荷重条件と拘束条件という二つの大きい条件を入れて、微分方程式を立てて、正統的に解くことは容易なことではない。

ところが近年、電子計算機の発達とともに有限要素法とよばれる新計算技術が発達してきて、従来の構造解析のあり方を根底からゆきぶりつつあります。この方法によりますと複雑な境界条件、たとえば固定されているとか、ピンの上にのっているとか、自由であるとかいう境界条件が、有限要素法によると非常に簡単に解ける。

また、塑性応力解析に関して言えば、ヒルなどの本を読んで勉強された方は、その複雑さをご存知のことだと思いますが、有限要素法を用いますと容易に解けることになりそうです。

現在、私は、ベスホッフやソコロフスキーニなどの全ひずみ塑性理論とクーロン・ナヴィエの破壊条件とを組合せ、弾塑性解析を行なうつもりです。

どうです。皆さんも有限要素法をやってみませんか？

勉強法としては、構造力学の発達過程を考えても、材料力学、構造力学、弾性論（ラブのよりもチェモシェンコの方がよい）を基礎として、マトリックス構造解析、有限要素法と進まれるのがよい方法だと思います。

2.3の参考書をあげてみますと、

- マーチン、マトリックス法による構造力学の解法 吉讃雅夫訳 培風館 1,500円
- ツィエンキーヴィッヒ他、マトリックス有限要素法 吉讃雅夫訳 培風館 2,200円
- 日本鋼構造協会編 コンピューターによる構造力学講座 全11巻中3巻既刊 培風館
- 日本鋼構造協会編 マトリックス構造解析法講座 3,000円

地殻の応力（直接）測定と Standard state について

地質調査所 堀 見 俊 弘

1. はじめに

最近になって、鉱山・土木工学の分野で、岩盤内の応力を直接測定する方法がいろいろ工夫され、データが蓄積されてきた。これは構造地質学の分野でも大きな関心を寄せるべきだろうと思い、筆者の読んだ2つの論文を紹介することにする。まず、予備知識として、これまで扱ってきた地殻のモデルについて説明しよう。

2. "Standard state" について

ANDERSON(1942)は、断層の力学を扱った際、はじめて standard state という概念を導入した。彼は、地殻内部のどの点でも、方向による応力の変化はなく、かつ、つねにその場所の自荷重圧にひとしい、すなわち静流体圧状態のことを、こう呼んだ。

筆者は、ここでは standard state という語に " " をつけて、「重力場のなかで静的平衡にある—運動していない、造構応力が働いていない—地殻内部の応力状態」の意味で使うことにする。（以下、筆者の用法の "standard state" を略して "S.S." と書く）

そうすると ANDERSON の "S.S." は
 $\sigma_x = \sigma_y = \sigma_z = \varphi g z$ (1)

となる。ここに $\sigma_x = \sigma_y = \sigma_z$ は、 z を垂直にとったときの軸方向応力、 g は重力加速度、 z は地表からの深さを表す。

いっぽう、地殻を弾性体、かつ水平方向には拘束されているとみると、その "S.S." は
 $\sigma_z = \varphi g z, \sigma_x = \sigma_y = \sigma_z / (m-1)$ (2)

となる。 m はボアソン数である。このモデルは、鉱山工学などでよく使われており、 m は常数として扱われている。これを、鈴木ら(1967)に準じて、KUHN の "S.S." と呼ぼう。さらに、PRICE(1959)は、 m は

常数でなく、圧縮応力 σ_c によって変化すると考えて地殻の応力を論じた。そこで、PRICE の "S.S." は、

$$\sigma_z = \varphi g z, \sigma_x = \sigma_y = \sigma_z / (m-1), m = f(\sigma_c) \quad (3)$$

と書ける。

このほかにも、いろいろな "S.S." が考えられる。たとえば、ゼラチンによる光弾性モデルの "S.S." は、

$$\sigma_z = \varphi g z, \sigma_x = \sigma_y = 0 \quad (4)$$

である。また、砂箱による断層モラル実験の "S.S." は、ANDERSON のそれに近いと考えられる。モデル実験によって地質構造を論ずる場合には、相似条件はもちろんだが、その "S.S." が地殻のそれとどこまで一致しているかにも充分留意する必要がある。

さて "S.S." にあるモデルにて、ある一定応力が加わったのち、その変形を固定したときモデルの応力状態は、大きく次のように分れる。

- ①弾性体のモデル：応力状態は時間によつて変化しない。
- ②粘弾性体（塑性体も）のモデル（応力状態が時間とともに変化する）。

このうち、②にはいろいろなモデルが考えられるが、いずれも、充分長時間後の応力状態は ANDERSON の "S.S." に近くなっていることは、言うまでもないであろう。

3. 地圧の測定値とその粘弾性論的考察

以下には、鈴木ら(1967)の考察を紹介しよう。地殻内部の応力—盤圧、地圧ともいって直接測定する方法については、鈴木(1965)や、鈴木・石島(1968)を参照されたい。

鈴木ら(1967)は、世界の各地で得られた地圧測定データのうち、比較的の信頼のおけるもの 26ヶ所(深さは 17m から 2,135m に及ぶ)の

値について、 σ_v （垂直方向の応力）と σ_H （水平方向。2方向が得られているときはその平均値）に分けて、それぞれの応力成分と深さ z の関係、および σ_v と σ_H との相関関係について統計的に調べた。その結果、 σ_v と z との回帰直線は σ_v を0.33としたときの $\sigma_v = \varphi_{gz}$ とよく一致すること、さらに σ_v と σ_H は、単位を省略で表わしたとき、

$\sigma_H = 5 + 0.94\sigma_v$ （相関係数 $r = 0.95$ ）(5)
なる一次式に近いことがわかった。ここに、定数5はさして意味がなく0にちかいとみてよいので、結局、式(5)は $\sigma_H = \sigma_v$ にちかい、すなわち地殻の応力状態は平均的にみて、ANDERSONの“S.S.”にちかいことを表わしている。

そこで鈴木らは、地殻は地質学的なスケールの長時間では流体的にふるまう線形粘弾性体として、その理論的考察を試みている。彼らの“モデル岩石”は、偏差応力成分 $\Delta\sigma$ と偏差ひずみ成分 $\Delta\varepsilon$ に関してはバーガー体、平均応力の3倍 σ_{KK} と、平均ひずみの3倍 ε_{KK} に関しては弾性体としてふるまうものと仮定している。紙数の都合で状態方程式は紹介できないので、第1図によってその挙動を察せられたい。

ここで、鈴木らは、水平方向の変化が拘束されている状態で、垂直方向の応力 σ_v が与えられたときに、水平方向の応力 σ_H が時とともにどう変っていくかを計算した。構造地質の問題としては、地表がフリーなモデルに垂直に応力を与えるという設定は、どうもピンと来ないが、地層の圧密の問題や、造構運動が停止したのちの地殻の応力状態を検討するには参考になる。詳しい式は省略するが、要するに、ひずみが固定されたのちしばらくの間は σ_v と σ_H の間には差があるが、それは弾性モデルにおける差よりは小さい。さらに、充分長時間後には σ_v と σ_H の差はほとんどなくなるという、予想通りの結果が得られている。定性的には、第1図からも理解できるであろう。

4. 地圧測定のGlobal tectonicsへの寄与

つぎに、スエーデンの土木技師HAST(1969)の、いささか毛色の變った論文を紹介しよう。彼は、自からの考案した応力計を孔内にくさび止めする方法（詳しくは鈴木(1965)を参照）で精力的に地圧測定を行ない、スカンジナビア地方だけで20,000点という膨大なデータを得ている。彼はさらに、北はスピッツベルゲンから南はリベリヤに至る大西洋西岸の各地中央海嶺が横ぎるアイスランド・アフリカ大地構帯の近くのザンビアなどにも足をのばして測定を行った。その目的は、①地球は果して膨脹しているのか、収縮しつつあるのか？②大陸移動やマントル対流は実在するのか？という命題を検討することにあったという。

測定の結果、これらの地方の大半での地圧は“S.S.”状態よりは圧縮の卓越した“dynamic equilibrium”の状態にあるという。その多くは σ_H のうちの1方向が σ_v よりも大きい水平圧縮状態であり、しかも、最大剪断応力の方向も水平、つまり中間主応力軸が垂直にちかい応力場にあることがわかった。さらに、第2図のように、主圧力の方向は、中央海嶺とそれを横切るfracture zonesの方向の中間に向き、2つの最大剪断応力の方向はこの両者とそれぞれ平行にある傾向があるという。つまり、大西洋地域は、全体としてあたかも、中央海嶺とfracture zoneを共役とする走向移動断層の生ずるような応力配置をとっている、というのである。もし、中央海嶺や大地構帯が“プレート”的湧き出し口であるならば、少なくともアイスランドやザンビアでは、水平引張りのほうが卓越するはずなのに、測定結果は、他地域と同様な水平圧縮型の応力場を示している。

以上のことから、HASTは、地殻膨脹説や対流説一大陸移動説には賛成できないと結論している。なお、論文には、このほかにも、中央海嶺の成因、地震予知問題、land linkの問題などについても、独特の面白い見解が

がみられるが、省略する。

5. おわりに

以上、一見全く異質の2論文であるが、地圧測定という手段が、構造地質学に適用できる可能性があると思い紹介してみた。われわれのような、中規模の地質構造を扱かう立場からいと、両論文とも、もの足りなさを感じざるを得ない。世界中を一様に取り扱ったのでは、地域構造地質学は成立しないからでわれわれは“平均”からのずれの原因をこそ究明しなければならないのであろう。なお、HASTについては、自説の主張に懸念があり、古典的な収縮説に戻ったかの印象さえ受ける。

しかしながら、地圧測定法は、もともと、坑道内の断層の両側で地圧がどう変化するかというような要請から開発されたものであるから、われわれの当面する課題の解決にも大いに役立つであろう。その将来性に注目したい。

(地圧測定法について種々御教示を載いた小出仁氏にお礼申上げる)。

文 献

ANDERSON, E.M. (1942) The dynamics of faulting. 183p., Oliver and Boyd.

HAST, N. (1969) The state of stress in the upper part of the Earth's crust. Tectonophysics, Vol.8, p.169-211

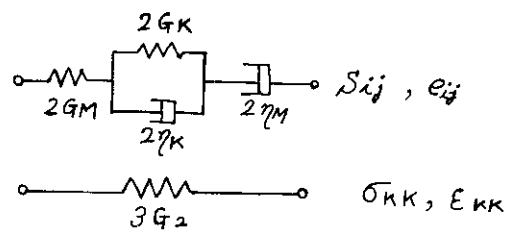
PRICE, N.J. (1959) Mechanics of jointing in rocks. Geol. Mag., vol.96, p.149-167

鈴木 光 (1965) 盤圧測定法(その1) 日鉱会誌, vol.81, p.691-698

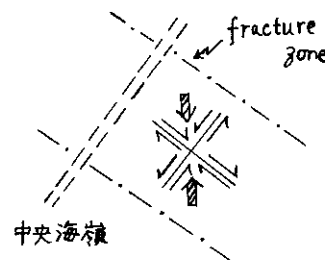
—・西松裕一・石島洋二 (1967) 一次地圧の測定値とその粘弾性論的考察. 日鉱会誌, vol.17, p.856-862

—・石島洋二 (1968) 孔径測定法による盤圧測定の理論と実際. 材料, Vol.17, p.856-862.

(オ1図)



(オ2図)



太い矢印は最大主圧力,

細い矢印は最大剪断応力の方向。

ボーリング・コアからみた褶曲（予報）

新潟大 岩 松 暉

昨年、新潟県頸城地方に3,800mの基礎試錐が掘られた。そのコアを研究する機会を得たので、気のついた点を報告する（詳細は後に発表の予定である）。

層序は右図のようであるが、おもしろいところには、岩石の比重が下位に行くほどになり、3,500m付近で2.7に達する。中新世の岩石としては異常に高い値である。これより深いところでは、もはや増大せず、2.7の値を保つ。

コアの肉眼的な観察によても、このことがわかる。すなわち、最下位の火打山層は古生層と見違えるばかりの硬い黒色頁岩・砂岩であるのに対し、上位に行くほど“柔らかそう”になって、手でこわせるようになる。

入手したコアのうち、泥質岩について薄片を作ってみた。その結果、3,500m以深の黒色頁岩の中に、層理面と約45°斜交し、傾斜70°～80°のスレートへき開を認めた。北上山地の登米スレートのように典型的ではないが、へき開の方向に illite の平行配列がみられる。ただし、粗粒な鉱物はまだ層理面に平行に配列している。

日本において、中新世の地層にスレートへき開が発見されたのは、これが初めてである。北上山地綱木坂向斜においても、この程度の深さから、しうる曲の様式は曲げしうる曲からせん断しうる曲に移りかわり、スレートへき開ができるはじめる（IWAMATSU, 1969）。また、TOKUYAMA(1965)によれば、中古生層のスレートの密度は2.7である。このように、時代も地域も異にするにもかかわらずほぼ同じ値を示すのは興味深い。

曲げしうる曲の場合、粒子相互の並びかえによって変形する。粒子間隙の減少は比重の増大をもたらし、最密充てんに達したときの値が2.7であり、そのときの深さが3～4km

である。したがって、それ以降は、変形は粒子自身の変形によってまかなわれ、比重はもはやあまり増大しない。この状態がせん断しうる曲である。これがさらに進行して再結晶作用が行なわれるようになると、变成岩に見られるような流れしうる曲になる。このようなモデルが考えられるのではないだろうか。

地表でこれらの地層が分布しているのは、北部フォッサ・マグナの西頸城地方である。この地域にせん断しうる曲が存在することが予想される。夏に野外調査を行なって、北上山地のそれと比較検討してみたい。また、高圧岩石三軸圧縮試験機が入り次第、室内実験も並行して行なうつもりである。

頸城基礎試錐（帝石原図）

深度	地層名	岩相	比重(泥質岩)
0m	西山層	シルト岩	2.7
500m	稚谷層	サ泥豆層	2.5
1000m	寺泊層	泥岩	2.3
1500m			2.1
2000m	難波山層	砂岩頁岩互層	
2500m			
3000m	火打山層	黑色硬質頁岩	
3500m			

頸城基礎試錐（帝石原図）

犀川流域地質（特に犀川断層）について

新潟大 尾 身 正 弘

北部フォッサ・マグナ地域の新第三系に関しては、この地質構造発達史を総合することの意義の重要性から、これまで多くの調査研究が様々の観点からなされており、地質構造に関しては、その大構造上の一般的特徴が明らかにされてきた。今回調査地域として選んだ長野県の犀川流域の新第三系は、主要構造として、この犀川に沿って発達し背斜軸部に生じた形態を示す犀川断層、これを境として西側に広域に発達する高府向斜、東側の込地向斜、細田背斜（今回の調査は概査程度）さらに北東部には1オーダー規模の下った褶曲群などが発達し、南部のN-S系構造方向から、北に行くに従いNNE-SSE、さらにNE-SW系の構造方向をとり、全体に北西側に凸形を示す弧状形をなす。これは北部フォッサ・マグマの一般的特徴である。さらに北部フォッサ・マグナ的性格の構造は、南の明斜町付近で、主要断層、褶曲軸のクサビ状取れんをもって消滅する。以上の事実から、この地域は北部フォッサ・マグナの性格・構造発達史を考察する上で重要なフィールドであり、特に犀川流域沿いは良好な露頭を提供してくれる。この犀川に沿う形で延びる犀川断層を境界としてそれぞれ発達する、西部地域高府向斜堆積盆、東部地域込地向斜堆積盆の新第三系は、その岩相、構造の差異が著しく、さらにこの犀川断層はそれ自体、はっきりした断層線がつかみにくい。これまで報告してきたように、ある巾をもついわゆる犀川擾乱帯と呼ばれるような disturbed Zone を伴うものであり、この断層の形態、機構、成因の解明は本地域における調査の重要なポイントである。これまでこれに関して多くの諸先輩の考察がなされてきた。が、必ずしも見解の一一致はみられない。その大きな原因は東西両地域の地層の対比が、岩相の著

しい差異、化石の産出が乏しいことによる生物層序的解明の困難さからきているようと思われる。このことは、地層の空間的、時間的把握をより不明瞭にすることになり、犀川断層の機構解明にあたっても大きな障害となる。この点、今回の調査においても多くの進歩はなく、これまでになされてきた可能な限りの対比を基礎にする他はなかった。今後の大いな課題である。

調査は構造地質学的観点から、主にこの犀川断層（擾乱帯）に注目し、帰納的な方法によって大小詰構造要素の幾何学的形態、事実記載を詳細に行い、可能な限りの推論を調査結果および、北部フォッサ・マグナに関するこれまでの報告と兼ね合わせて試みた。その結果を以下に要約する。

1) 犀川断層は南部で東西両側の地層（東は別所層、西は青木層）にほぼ平行しN-S方向、中部でNNE-SSE方向に向きを変え両側の青木層に斜交、北部では再びほぼ平行して両側の小川層を断つ延びを示す。

2) 断層付近の西側地層は平均40°~50°傾斜、東側は70°~90°(時に逆転)傾斜を示す地層で最大2km巾で存在する。（犀川団研グループはこの急傾斜層地帯をもって犀川擾乱帯とした）断層を伴うものの、背斜状形態をとる現在の地層から推定される背斜軸の極は約N30°E±15°±5°Nである。

3) 断層付近の西側の構造は一般に急傾斜をなすことが少ないが、断層線付近の露頭が良好な、平、野平、舟場、和平、大原の犀川沿いでは、推定される断層線より約500m巾以内で激しい地層の変形、擾乱が観察される。それぞれの地域の特徴として、

野平：参加層厚が数10mにおよぶとみられるconcentric fold、地層に低角で入る逆断層

犀川流域地質図

舟場：著しい地層のブロック化変形、擾乱
(この地帯に逆断層が顕著)

和平：厚さ約20mにおよぶスランプ層、
層内褶曲とこれら的小構造地層を支配する折
れ曲り状逆転構造

が観察され、褶曲軸部付近(断層線付近)の
現在露出面における、構造レベルの諸段階の
形態をとらえることができる。一般に変形、
擾乱は断層線に沿う西側全域にほぼおよんで
いるものの、詳細にみると、その連續性は悪
く、個々の地域における発達にとどまる。し
かし、断層線付近の西側の地層の波状地層変
形(参加層厚は数10m+におよぶ)は、野
平へ大原まで連続して生じているようであり、
西側地層構造の背斜軸部付近の形態が立体的
にとらえられ、機構解明に大きな手がかりを
与えると思われる。

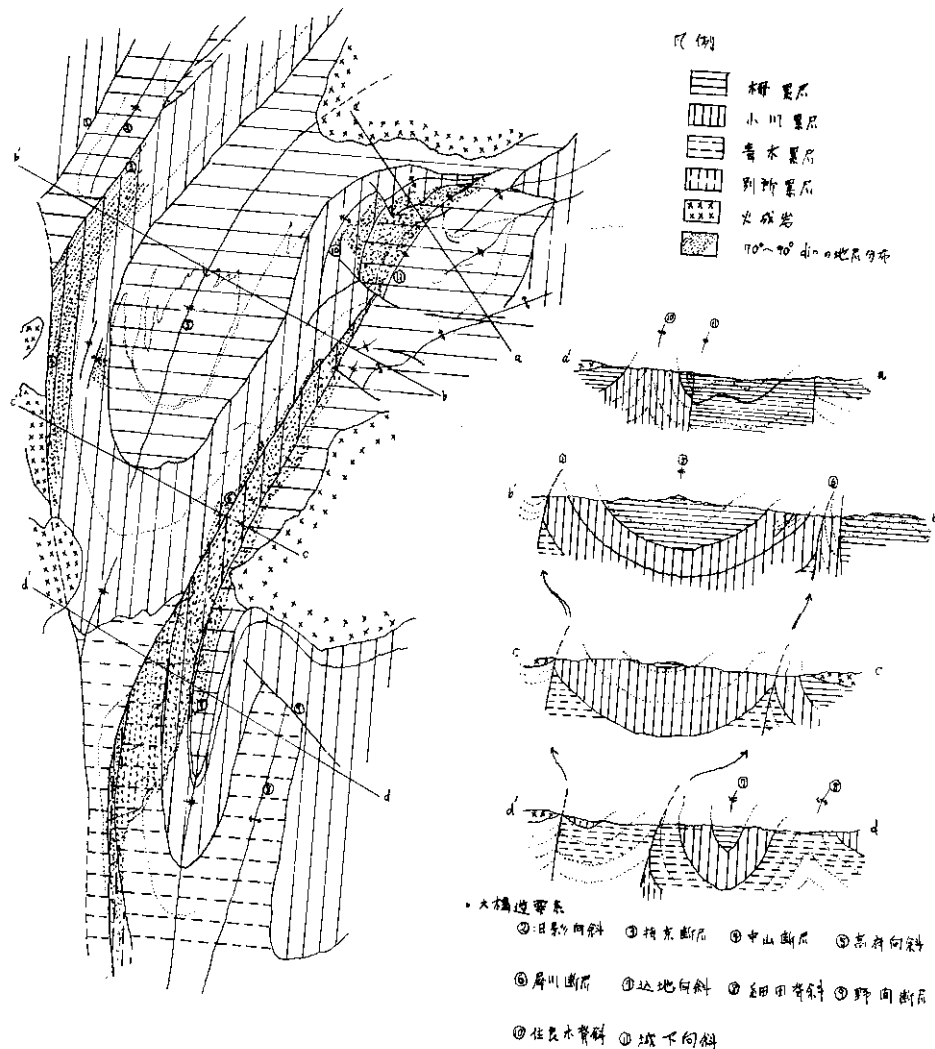
4) 断層の東側では、急傾斜した主に泥質
岩互層、砂岩泥岩互層中に各種のスランプ構
造が観察される。特に最下部の明斜層(別所
層とされている)においては全層にわたって
発達し明らかに堆積時の構造である。小川層
の粗粒質岩中には見かけ上の逆断層が全域に
発達し、南牧付近で著しい。

5) 断層線そのものの存在の確認は、それ
が泥質岩層、および擾乱層中に生じているも
のであり、断層線、面の性質ははっきりしな
い。落ち、落差に関して諸説があり、検討中
である。

6) 断裂系に関しては、一般に本地域全般
にわたって、機構を知りうるようなものの発
達状態は概して悪い。と結論される。

7) 地層の変形、擾乱の分布は下位の青木
小川累層の泥質岩層、砂岩泥岩互層に発達が
著しく、上位の小川、柵層の粗粒質岩相中には
ほとんど発達していない。従来、これらを
全てスランプ構造とされてきた感があるが、
推論途上であるものの、堆積時変形、造構時
変形に分けられる構造が同一に生じていそも
のである。

屏川流域地质图



深さによる褶曲形態のちがいについて — 褶曲波形からみた褶曲の形成様式のちがいについて —

東教大 角 田 史 雄

富士川上流域には、いろいろな褶曲が発達する。櫛形山脈層群から供給された桃の木層群の基底礫岩や桃の木区におけるNE-SW方向の軸をもった褶曲、さらに、櫛形山区における褶曲波形（箱型褶曲）などから判断すると桃の木区における褶曲はそのほとんどが櫛形山山塊の隆起運動に起因する。

これらの褶曲を波長によって、4つのグループ（第一次から第四次までの各オーダーのグループ）に分類し、さらに、褶曲形態を解析することによって、桃の木区を3つの褶曲区（A、B、Cの各褶曲区）に分けた。これらの分類の結果、以下のことことが明らかになった。

A 褶曲区の単純な褶曲波形とB、Cの2つの褶曲区の複雑なそれとのちがいは、それぞれの区における岩相のちがいが原因している。他方、B、Cの両褶曲区における褶曲形態の変化は、櫛形山山塊および白根山塊の隆起運動によって生じた力の強さと方向などのちがいが原因である。

鳳凰花崗岩体の東縁部や糸魚川—静岡構造線近傍に発達するKink foldsは、桃の木区の他の褶曲とは、その形成の場も原因も異なる。すなわち、kink folds帶は、桃の木区の褶曲区の方向（NNE-SSW）と完全に斜交していること、その帶状区域は上記の2つの場所に限られていることなどから、kink foldsの、白根山塊の上昇に伴なう糸静線や鳳凰花崗岩体の活動によって、形成されたのである。

また、褶曲波形の特徴からすれば、kink foldsの形成機構と、桃の木区の他の褶曲のそれとは異なっており、kink foldsは褶曲現象と断層現象との中間的な性格をも

つ現象であろう。

褶曲のモデル実験について

地質調査所 小玉喜三郎

褶曲構造を解明する場合、その形態を正確に復元する事がまず第一に必要ですが、それをさらに進めていくためには、褶曲をつくった原因とか、出来る過程やメカニズムを知って、体系的に研究しなければなりません。このような方向は、褶曲の運動学的あるいは力学的研究といわれるもので、それには実験的な方法と数理理論的方法の2つの手法があります。

たとえば単純な形の褶曲の理論的研究には Ranberg や Biot の研究があげられます。これらは主に地層の面に平行な水平圧縮力が加えられた時に出来る Buckling fold についての理論です。

一方ソビエトの Gzovski や Levedeva らによつては、もっと複雑な形態を示す褶曲帶のようなものについて、その規則性を見つけ出すような仕事が主に実験的手法を用いて行なわれております。

さて私達は、このような研究を参考にして新潟堆積盆地に発達する褶曲の形成についてこれまで研究で得てきたモデルを力学的に裏づけるべく、室内でのモデル実験を準備中ですので、それについて紹介したいと思います。

新潟盆地に発達する褶曲の形成過程を見ると、それはいくつかの模式的なものに分類する事ができます。これがその主なものです。そして、これらの模式的な型について、いずれも共通な性質として、褶曲の形成には基盤の昇降運動が重要な役割りを果しているという事があげられます。褶曲といふのは、ダラダラとどこにでも一様に発達しているというのではなく、ごく特定の場所に強く発達している事、そして、そのような場所は、地層の厚さが急変する所で、沈降速度の急変する所であり、しかも、その向きは上昇になつたり

沈降になつたり変わる事ができる。このような事から褶曲ができる所は、基盤のブロックの境目であり、褶曲の原因がこのような差別的なブロック運動によるものと考えざるを得ない。

このように褶曲をつくる原因は単純な表層地かく中の水平圧縮によって一様にできるというものではなく、むしろ、基盤ブロックの垂直方向の運動が第一義的なものであるということができます。特に新潟の場合にはそのように考える事ができます。

それでは、

①垂直運動がどのように部分的な水平圧縮をもたらして褶曲をつくるかという事になるわけですが、②またこのような部分的な水平圧縮のわよぶ範囲はどのくらいの範囲であるのか、そしてその時できる③褶曲の形態の特徴はどんなものであるのか、という事になるわけですが、このような研究は理論的にはまだかなり難かしい問題ですが、定性的には、簡単なモデル実験で行なう事が出来ます。

私達は上のようないメカニズムを再現し、褶曲形成の過程や、その結果できる褶曲の形態を検討しようと、自下実験を準備中であります。この図はその装置の概要を示したもので約長さ 1 m、高さ 25 cm、奥行 20 cm の透明なプラスチックケース中に、あとで説明します物理的相似性に従つて定められた、特定の粘性率をもつ粘土や、グリース、シリコンオイル等を、地層に対応するものとして入れ、基盤に相当する下のブロックを任意の速度で上昇、沈降させる事ができるように設計されております。このようなブロックは、またいくつも並べて置くことができ、それぞれをレコーダによって自記記録する事ができます。そ

してこのような基盤の運動によってできる地
層の褶曲の形態はビデオテープレコーダ等に
よって連續的にまた精密な写真撮影によって
各段階の歪を解析することができます。

これらの実験をやる場合には物理的相似性
を満たすようにやらなければなりません。即
ち自然の長さと、モデルの長さの割合、自然
の速度と模型の速度との割合、物質の密度の
比などをきめると、これらに従って外の全て
の物理量について、その単位の比が自然とモ
デルの間で定まります。従ってそのような相
似性を満たす物質を作つて実験をしなければ
なりません。一例としてここにあげたもので
説明しますと、長さの比と、時間の比を定め
ることによって速度の比が決められ

変質作用と深成作用

東教大 杉 山 明

1. まえがき

グリーンタフの変質現象は、主として、鉱物学的な方面と地質学的な方面から研究が進められているが、後者に関しては、変質分帯と層序の関係を云々するにとどまり、変質現象の扱う地質学的意義は、いまだに不明瞭である。ここでは、変質作用が新第三紀の深成作用と密接な関係を有することから、それらが地殻下部に共通の源をもつであろうことを示唆する。

2. グリーンタフ地域各地の変質分帯と深成岩体分布の関係

巨摩山地は変質の程度から大略3帯に分けられ、各帯の境界は層序と全く無関係に、これを切って走る。地史学的データから、この地域の変質作用は少くとも2段階を経て行なわれた。また、強変質帯は、数箇の閃緑岩の小岩株をとりまくように分布していることから、強変質作用と深成作用は同一の熱源によって発現せしめられたと考えられる。巨摩山地の北部で、閃緑岩の露出面積が大きくなるとともに、強変質帯の分布も広くなることはこのことを裏付ける。

巨摩山地と同様に、深成岩体の分布は極めて限られているが、それに関係すると思われる強変質帯がかなり広く分布する地域としては、丹沢山地北部や新庄盆地が挙げられる。

一方、群馬県本宿地域、長野県内村地域および丹沢山地主部には比較的大規模な閃緑岩体が分布し、変質分帯もこれをとりまくようになされる。前者については、強変質が深成岩体の貫入に伴なうことが明らかであるが、後二者については、閃緑岩がそれらの地域の下部層中に貫入しているため、それが明らかでない。しかし種々のデータから後二者の少くとも強変質部は深成作用と密接な関係をもつといえる。

西南日本は別として、東北日本内帯からフオッサマグナにかけて、規模こそ小さいが、新第三紀の深成岩体の分布は決して少くない。そして、パンペリー石、ぶどう石あるいは緑れん石の出現する強変質帯は、これら深成岩体の直接の作用ではなく、深成作用を促したと同一の熱源によって形成されたと考えられる。また、これにより低い変質（結成変質あるいは広域変質と呼ばれるもの）も、このような深成作用の先駆現象として捉えられないであろうか。

3. 変質強度の変化に伴なう主要 факторの変化

丹沢山地の北部では、モンモリロナイト一沸石帯からぶどう石一パンペリー石帯を経て片理の明瞭な緑色片岩まで連続した変化が見られる。従って変質作用と变成作用を区別することは難かしく、変質作用は变成作用の一部として捉えた方がよいと考えられる。しかし、丹沢山地北部の変質系列を温度・圧力で一般化して捉えるのは正しくない。即ち、モンモリロナイト一沸石帯では温度が低いから当然反応速度は小さくなり、原岩あるいは作用する热水の化学組成が、出現する鉱物の組合せに利いてくるだろう。これがぶどう石一パンペリー石帯になると温度の上昇により反応速度は大きくなり、化学組成の僅かな違いは無視できるようになる。さらに緑色片岩帯に至れば温度と共に圧力が鉱物組合せを支配する主要な因子になってくる。いわゆる变成岩は温度一圧力図表で捉えうるが、低変質岩では化学的な要素が大きな役割を果すことに注意しなければならない。

4. 新第三紀深成岩類の特徴

東北日本内帯からフオッサマグナにかけて点々と分布する、いわゆる新第三紀深成岩類については既に多くの人が述べているが、そ

の特徴は、典型的な深成岩ではなく、いずれも浅所併入型の火山、深成岩複合岩体であることである。このことは、グリーンタフの火山活動と深成活動が密接に関係していることを示唆する。

グリーンタフ下部に重要な役割を担うプロピライトが、完晶質岩に漸移する例が東北地方でいくつか知られているが、これはそれを裏付けるものであろう。変質作用が、グリーンタフの火山活動（噴出様式）と密接に関係していることは既に論じられているが、そうであれば変質作用が深成作用と関係していても不思議ではない。

5. 変質作用と深成作用の熱源深度

松田（1962）によれば、層序断面から推定した丹沢石英閃綠岩体の発生深度は、地下25kmより深くはならないという。新第三紀の深成岩体がいずれも浅所併入型であることは、こ

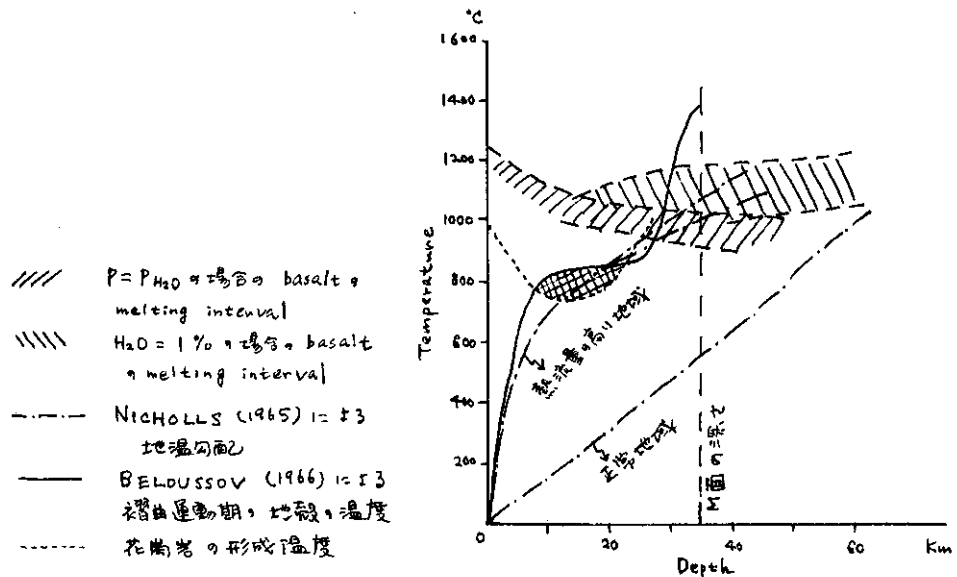
れらが地殻内で発生する可能性を与える。

BELOUSSOV(1967)は、褶曲運動期の地殻の温度が、花崗岩の溶融に十分なほど高くなることを示した。

また、NICHOLLS(1965)によれば、熱流量の高い地域の地温はモホ面附近で1,000°C前後となり、これは少量の水が存在すれば玄武岩を溶融するにも十分である。これらのデータは、層序学的に導いた松田の結論を支持するとも考えられる。（図参照）

6. 結論

以上述べてきたことから、グリーンタフの変質作用は、地殻下部の溶融と密接な関係があり、熱あるいは热水の源もここを仮定して考えてみる必要があろう。地殻下部の組成、構造については現在なお不明な点が多いが、これを変質作用の面から明らかにできるのではなかろうか。



地盤発生の地質学的条件について

地質調査所 鈴木 尉元

破壊的な地震をも含めて、一般に震央が一様な分布を示さず、特定の地域に集中して発生することは、古くから知られていた。これは、いわゆる地殻内地震に限らず、上部マントルの地震についても当てはまる事実である。

このうち地殻内地震について見ると、その分布様式に二つの型の識別ができることが明らかになった。一つの型は、第四紀の構造運動を特徴づけるブロック化した地殻の隆起運動の様式が、中心付近では変位の勾配が小さく周辺部に大きくなる型で、そのような周辺部に地震の集中して発生する型である。それらの地震の発震機構は、主張力軸が隆起の中心に直交するような配列をとる。第2の型は、ブロック化した地殻の隆起運動の変位の勾配が比較的一様で、地震の発生も、比較的一様に起る型である。それらの発震機構は、第1の型とは逆に、主圧力軸が隆起の中心に直交するような配列をとる。

第1の型は、九州山地に典型的に認められるので、九州山地型とよぶことにする。この型は、中国地方から九州にかけての地域、東北日本のグリーンタフ地域や北海道などに認められる。第2の型は、紀伊半島に典型的に認められるので、紀伊半島型となすけることにする。この型は、関東山地、中部山地、紀伊半島や四国東部など、本州弧の中央部に典型的に認められる。

これら両型とも、地震が地殻の変形とともにうボテンシャルエネルギーの開放として、統一的に解釈することができるようと思われる。

マントル地震の分布については、和達(1935)の重要な発見があるが、これらの中、深発地震についても、前記のブロック運動との密接な関係を指摘することができる。これらについても、いくつかの型を識別することが

できる。第1の型は、隆起するブロックの周辺の変位の勾配の大きい部分に発生する型である。したがってこの型では、地殻内地震とマントル地震の震央の分布は、互いに重なる。この型は、北海道、東北日本のグリーンタフ地域、関東山地や伊豆諸島周辺地域などに認められる。第2の型は、隆起するブロックの中心付近に発生する型で、中部山地や紀伊半島などに見られる。

九州の阿蘇火山列では、マントル地震の活動はその東側に限られ、西側には全くその活動は認められない。この西側の上部マントルは、その東側に比較して、吸収が大きい(上部マントルに発生する地震の震度分布による)。したがって、上部マントル中の震源分布様式を決定する要因は、そこの物性であることがわかる。すでに宇津(1968)の指しているように、震源が層状分布をとる理由は、このような物性的な条件の違いによるのであろう。

なお、上のべたような事実は、ブロック運動の根が上部マントルに及んでいることを示していると考えられる。したがって、上部マントルに横方向への流れを考えることは、極めて困難である。なお、和達の指摘した事実が何故起るのかは、未解決の問題である。

新潟堆積盆地の褶曲構造

一とくに褶曲方向に直交する構造単元とそのなかでの褶曲構造について—

三 梨 鼎

新潟堆積盆地の褶曲構造を背斜軸の長さを便宜的な基準として、30km以上の中第1級から5km以下の第3級まで区分し、それらを地層の層厚変化から、各段階における運動図を書き、またそれぞれの属性から褶曲構造の形成機構について述べた。（地質学会第77年総会、新潟堆積盆地の構造地質学的研究（その1～5）189～194頁）これらを要約すると第1級の30km以上のもの、ブロック化した基盤の隆起運動を直接反映したものとすることにより、形態、火山碎屑岩の堆積および小断層解釈結果をも統一的に説明できること、また第2級の背斜をさらに3つに区分されるが、そのうち、ドーム状のもの（石地型）は、第1級のものと機械的には同じく、また椎谷期以後隆起をつけ、その再活動によって形成されたものであり、加茂型褶曲では、基盤ブロックの反転運動、すなわち初め沈降し、次に隆起運動に転じた運動図が考えられるものである。第2級の他のもの、すなわち背斜と向斜が同程度の波長をもつ傾斜のゆるい褶曲構造や、第3級のものは、第1級ないし第2級背斜形成の際の2次的な横座力によって形成されたものと考えられる。小断層解釈結果は、このような予想をうらづけている。また地殻内の地震の震央分布などが、第1級背斜付近に分布することから、地殻の垂直に近い角度での断裂によったものとして深部断面のモデルを提出した。

以上は、堆積盆の長軸に平行な構造単元の形式機構について述べたが、次にこれらと直交する型式の構造単元について述べる。この構造単元は、堆積盆の西縁部から東に隣接する隆起帯IC、ほぼ40km間隔に約10km程度の巾をもつ地溝内に分布する単元であり、その1つの典型は、五十嵐川流域でみられる。

- 1) その形態は、七谷層から魚沼層に到るまでの地層が、新潟堆積盆に直交する方向で西に開いた半盆状の構造をもって分布する。（五十嵐川半盆状構造）そのなかには、この単元の方向に沿った褶曲構造がみられる。
- 2) この単元では、グリーンタフが厚く、しかも深い海の環境（深度約1,000m）に堆積している。なおこの厚いグリーンタフは、この単元外の北側へは急激に層厚を減じ、またその層準は陸性の影響のつよい環境の堆積層に移行する。
- 3) グリーンタフ分布地区での構造は南北性の方向でゆるい傾斜で分布するが、七谷層以上の地層は、1)に述べたような西東に近い構造をもって分布し、これらの構造の境界にあたる七谷層最下部および七谷初期の流紋岩および玄武岩の脈岩の方向は、七谷層以上の地層の分布が示す半盆状構造に調和的な分布を示す。（島津ほか1968：三梨ほか、1970）
- 4) 椎谷期には石英安山岩の活動があり、多量の碎屑岩を堆積するが、その岩類は、この単元の北縁に沿って発達している。これらのことから、この構造単元およびそのなかにみられる褶曲構造の形成機構についてみると、津川期には、隆起帯を横切る方向で、ほぼ2000m程度の落差の地溝が生じ、グリーンタフは、この地溝を中心として深い海の環境で、埋め立てるよう堆積した。つぎに西側の堆積盆の急激な沈降がおこり、七谷層以後の地層が堆積するのであるが、3)に述べた流紋岩、玄武岩の脈岩の発達は、急激な沈降に伴って屈曲部に生ずる断裂に沿って発達したものであろう。その後、隆起帯の全般的な上昇運動が行なわれる椎谷期には、この単元の北縁に沿い火山活動があり、また最上部

の魚沼層までが、この構造単元内に厚く堆積していることから、この単元の発生期の基盤の運動が、最終的な段階まで影響をおよぼしたものと考えられる。

またこの単元内にみられるほん東西性の第3級の褶曲構造は、この単元の北に隣接するブロックの相対的な隆起により、その2次的な横圧力によって形成されたものであろう。

文献紹介

Bellousov.V.V.(1970): 太洋底拡大説に対する反論 . Tectonophysics.9. 489-511.

いわゆるプレートテクトニクスに対し、系統的な批判をすすめている著者の、従来の論点の一つは、大陸地殻の特徴とその造構史の研究をよりどころとして、プレートテクトニクスの一支柱である“マントル対流仮説”への批判であり、もう一つの論点は、大洋周辺の造構史と、大洋と大陸における地熱流分布などから、プレートテクトニクスのもう一つの支柱である“大陸漂移説説”に対する批判にあった。しかし、プレートテクトニクスの最大の支柱である“海底拡大仮説”に対するペロウソフの批判はきわめて弱かったように思われる。しかし、本論文は、あたかもこの弱点の克服に力をおいたかのように、海底拡大仮説の根拠となっている諸解釈を精力的に批判をすすめている。そこには注目すべき論点がふくまれているようと思われる。

著者はまず大洋拡大説の内容について重点的にのべ、つづいて、14項目にわたり、その矛盾する論理、地学的解釈について批判し、最後に、全く別個の解釈が可能であることを指摘している。結局、海底拡大説、ひいてはプレートテクトニクスの誤りは、よくわからない地学的現象の早まった解釈にあるとし、今後、海洋底における重要な構造帯に関する知識の集積と、合理的な解釈につとめるべきであると結んでいる。以下にその主な論点を紹介する。

1. 仮説によれば、大海嶺付近の地磁気異常の原因が第2層にあるとされ、また、その縦状の模様が垂直構造を示すとされている。しかし、第2層というのは水平構造を呈するとみられるので、結局、地磁気異常の原因や構造は、この仮説のとる解釈と別のものを求めざるを得ないのである。

2. 大海嶺の構造は、これを地歴的に復元

すると、仮説が主張しているように、軸に直交した水平方向にひろがった構造を示さないのであって、それは、もともと上下に重なった構造が、あの隆起運動によって斜めの構造を示すようになったにすぎない。

3. 仮説によれば大海嶺上の岩石はすべて新しい年代のものでなければならないはずである。しかし、大西洋の大海嶺では、上部中新統の有孔虫をふくむ火砕岩が採集され、太平洋のそれでは2,900万年前の絶対年代を示す火山岩が採集されている。

4. 大海嶺を中心として、その両側に分布する地磁気異常帯のシマ目を、古地磁気における現在から過去にさかのぼっての正逆のリズムに対比させる仮説は、バイン・マッシュ説といわれ、海洋拡大説説の中心を示すものである。すなわち、古地磁気の時間スケールと中央海嶺の地磁気異常のシマ目の巾を算出してみると、新しい方(大海嶺の頂部)から古い方(大海嶺の両側方)への比率は1.0:2.4:1.6という値になる。この比率をもとに、実際の各大洋における大海嶺の軸部からの巾の比率をはかってみると、3つの比が満足に合致するものは全くないといってよい。

5. この仮説に関して、海底拡大の度合と第2層の厚さには一定の関係があるとされる向きがある。しかし、第2層に関係があるのに、第3層には関係しないのだろうか。実際には、第3層の厚さはどこでもあまり変わらないのである。また、東太平洋の拡大の速度は北大西洋のそれの3倍も速いとされている。もし、上記のようなことがいえるとすれば、両者の地殻の厚さは1:3ていどを示すはずである。ところが、実際に、両者の地殻の厚さが同じであるのはなぜであろうか。

6. 大海嶺の両側の地磁気異常のシマ目が

対称的であるという解釈が、この仮説の重要な支柱となっている。ところが、対称性を示さない例が北大西洋に知られているばかりでなく、シマ目それ自身が、観測深度や、計算による誤差にもとづいて変化するということもあるので、その対称性について実際以上に評価すべきではないし、計算や観測を厳密にすべきである。

7. プレートのわき出し口である大海嶺の軸が年代がたつとともに側方へ移動するという考えがこの仮説にもちこまれている。大西洋中央海嶺が西へ移動し、印度洋中央海嶺が東へ移動し、大洋洲と南極間にそれが北へ移動すると考えられている。しかも、それらは一連のものとされているのである。また、二つの大海嶺の軸が互いに離れるように側方移動する理由として、二つのわき出し口からでてきたプレートが互いにおし合うたゞであるというおかしな考え方もあり、さらに、わき出し口の側方移動を考えるために、マントル内の熱源の水平移動を考えなくてはならないのであって、こうした事がりうるであろうか。いずれにせよ、こうした考え方は、自然現象を離れた不毛な幾何学的操作というべきであろう。

プレートが沈みこむといわれる海溝部においても、たとえばアリューシャン海溝部では、年代の古い部分が島弧側にあるといったおかしな現象が生じているのである。

8. この仮説によると、プレートの移動速度は年に1～数cm、距離は白亜紀以来数1000kmということになる。それでも拘らず、プレート上の深海盆は静かであり、しかも、はげしい運動をする大海嶺をもふくめて、静穏な条件を示す堆積層が広く分布しているのはどういうわけだろうか。とくに、プレートは絶対的な強さをもつ固いものと規定されているのに、どうして二つにわれて移動できるのだろうか。大陸地殻は大洋地殻より厚いが、だれも絶対的な固さをもっていると主張する人はいない。それは断層でこわれもするが、変

形もしている。大洋地殻はこのような大陸地殻よりもけるかにうすいから、大陸のそれよりもっとフレキシブルであってよいはずである。

9. 中部太平洋の火山島のうちには、始新世や中新世以後のものが知られている。この間にプレートは千数百kmもくり返し移動したことになる。火山マグマの起源はプレートより下にるので、マグマの起源部分は水平に動くはずである。それらとプレート上の火山との関係は一体どういうことになるのだろうか。

10. この仮説が正しければ、プレートが沈むといわれている海溝の前面には、1億年にわたって、大洋側からよせ集められたやわらかい堆積物が巾50km、厚さ10kmといどつもあることになる。ところが世界の海溝の堆積層の厚さは平均1km、厚くて4kmといどにすぎないのはどういうわけであろうか。

11. 各大海嶺の軸部には、せまい高地熱流地帯となっているが、その両側では急激に低地熱流帯へ変化する。海溝付近でプレートが冷えて沈んでいるというのであれば、上記のような海嶺近くの低地熱流の地域でプレートがなぜ沈むことができないのだろうか。太平洋のプレートが、大陸のへりで沈むのに大西洋のものが沈まないのはどうしてか。なお、プレートが沈む場合には、今のところ物質のエクロジャイト化だけが考えられる。沈んだプレートの深さは700kmにも達するといわれているが、そのような深さでは、密度が4.86g/cm³になるはずである。しかし、エクロジャイトがこんな密度を示すということはありえない。また、地殻の岩石は深度400kmでとけてしまう。したがって、仮説のように、プレートが数100kmの深さにつっこんだり、そこに長くとどまることはできないであろう。

12. 大海嶺を特色づける地磁気異常帯が、そのまま陸に上陸する現象があるとすれば、海底拡大仮説の真偽をたしかめるために貴重である。このような場所がたった一つある。

アイスランドである。すなわち、異常帯の中軸は島上の洪積世玄武岩の部分に連続し、東側の異常帯はアイスランドの中央地溝につづき、西側のそれと対称的な異常帯は第四紀火山帯につながる。これら東西両側の異常帯の年代は、バインーマシッス説によると800万年前のプレートである。ところが、その陸上延長部は、第四紀前半の火山線をいみし、しかも大海嶺の軸部のそれと同じ年代を示している。さらに、アイスランド島上にも、線状の磁気異常帯の発達が知られているが、それは、仮説が指摘するような拡大の構造を示していないで異なった組成を示す玄武岩の傾斜した層からなっている。これに対して、拡大した隙間を玄武岩の岩脈が埋めるといった構造によって説明しようとする試みもあるが計算上全く無理である。

13. 人工衛星によって測定された資料によると、大海嶺の軸部に分布する高地熱流地帯の巾は、対流運動の機構を説明するには余りすぎますといわれている。

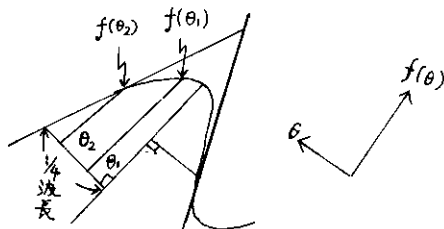
14. 地質構造と地物データとを比較するとそこに一定の対応性がみられる。これらにもとづけば リソスフェア（地殻とマントル最上部）とアステノスフェア（マントル上部）は少くとも大陸では互に密接な関連を示し、テクトノスフェアの体系をなしている。もし、大洋底拡大を引きおこすための原動力としてのアステノスフェアの水平移動が生ずるならば、必ずリソスフェアに影響があらわれずにはいないであろう。

また、この仮説では、地球の変動を中世代から考えはじめるのであるが、大陸では 中生代以前に、中生代以後のような変動が数サイクルにわたって展開されたことを忘れてはいけないのである。

このような14項目の批判をしたあとで、では、大海嶺の軸を中心とする地磁気異常のシマ模様を、拡大説とちがって、どのように解釈できるかという点について、詳論している。これに関しては、ヴァン・アンデル(19

68)の解釈と、バイルド(1967)の解釈を紹介し、今後の発展を期待している。前者は、地磁気異常帯の現象は、玄武岩のシートが水平に重なっているためとし、後者は、大海嶺の両側の異常帯が軸部に向って斜めに傾斜しているためと解釈している。いずれも拡大を考えなくてすむ解釈である。以下省略。

(東教大、藤田至則)



C. L. STABLER: 褶曲形の単純化したフーリエ解析

Tectonophysics 6. (4) (1968). pp. 343-350

地質学のデータを統計学的方法で扱うといふことに対する興味が増大するにつれて、基本的な地質現象を描く方法として、数学的概念の必要がましましてき。そこで、いろいろな人がいろいろな方法を研究したが、複雑だったり、よく適合しなかったりで、あまり利用されなかった。そこで、著者は褶曲の形を、フーリエ級数を用いて正確に、簡単に表わそうとした。

まず 褶曲の形の特徴を示すものとして、 $1/4$ 波長をとり、これを一つの単位とした。 $(1/4$ 波長とは、2つの変曲点に接する接線の2等分線をとり、それに平行な、かつ hinge を通る線への変曲点からの垂線の長さをいう)。

フーリエ級数は以下のようにしておらわされる。

$$a_0 + a_1 \sin \theta + b_1 \cos \theta + a_2 \sin 2\theta + b_2 \cos 2\theta + \dots + a_n \sin n\theta + b_n \cos n\theta$$

a_0 :一定値

$a_1, a_2, \dots, b_1, b_2, \dots$:振幅

$$\theta = 2\pi x / \lambda$$

λ :波長 x :距離

さて、いろいろの初期条件をあてはめ、簡素化すると、

$$a_1 \sin \theta + a_3 \sin 3\theta + \dots + a_{2n-1} \sin(2n-1)\theta$$
 となる。

ところで、実際に用いる場合、高次の項は誤差の範囲として含まれ、結局

$$a_1 \sin \theta + a_3 \sin 3\theta$$
 の2項だけでいい。

以上のように、 $1/4$ 波長分の褶曲の形は、

$f(\theta) = a_1 \sin \theta + a_3 \sin 3\theta$ という式であらわせられ、未知数 a_1 と a_3 は、褶曲の断面において任意の2つの点 $\{(f(\theta_1), \theta_1), (f(\theta_2), \theta_2)\}$ を実測し、2連立方程式を立て、とければ出てくる。これで褶曲の形を数式で表わせたことになる。

ところで、褶曲の形を比較するときには、オーダーの差がじゃまになってくるが、これは、 $F = a_1 / \lambda$, $T = a_3 / \lambda$ (振幅 / $1/4$ 波長) という値を用いることにより解決される。またこのようにして、FとTで褶曲の形を決定して (a_1 と a_3 が決まるので、褶曲の形を決定できる) 表を作つておけば、フィールドにおいて $1/4$ 波長 λ のみを測定し、表から同じ形の褶曲をえらび、そのFとTを読みとることにより、その褶曲を前の式で表現できる。また反対に、数式から、表のどれにあたるということが言える。

(新潟大 服部昌樹)

Sherwin, J. A. & Chapple, W. M. . 単一層褶曲の波長、理論と観察の比較.

Am. J. Sci. 266, p. 167 - 179. 1968

Biot, M. A. (1961) は、層状の粘弹性板の buckling による褶曲プロセスを理論的に解析し、competent (less viscosity) layer と incompetent layer の粘性係数比 η_1/η_2 を決定する可能性を導いた。彼は、incompetent な媒質中の competent layer の褶曲を粘性モデルにおいて考察をすすめ、非常力場においては、 $L_d = 2\pi h \sqrt{\eta_1/6\eta_2}$ なる関係がなりたつことを示した。(L_d : 卓越波長, h : competent layer の厚さ) また Currie et al (1962) は、褶曲の発達程度、その規模などを考慮することなく、野外で褶曲の波長-層厚比を計測し、その値が約 2.7 という constant な値を示すことを指摘した。本論文の著者 Sherwin と Chapple は Sprague Upper Reservoir (Georgiaville Quadrangle, Rhode Island) 近くの石炭紀の Bellingham conglomerate をはじめとして 6 カ所の地点から 818 個における sample を採集し、その波長-層厚比を計測した。その結果は table 1 に示されている。

sample を選択する際 Biot の仮説が考慮された。すなわち competent layer は isolated されており、振幅が小さく、かつ single layer の folding であることなど。

それにもかかわらず、計測された結果は、波長-層厚比 4 ~ 6 となり、予想より非常に低い値を示した。前述した Biot の式より、粘性係数比を求めるとき 2 ~ 8 となり、このように低い粘性係数比の場合、buckling よりむしろ shortening が主要なメカニズムとなってしまうことが予想される。Biot は、shortening が無視でき、また粘性係数比が高い場合における解を求めたが、これらの例では、以上の結果に示されたごとく妥

当とはいがたい。そこで彼らは、shortening (すなわち competent layer の thickening や thinning をふくむ) を考慮し、Biot の理論の修正を試みた。

褶曲は、sinusoidal に発達するものとし、その成長を、次の様にあらわす。

$$W = A(t) \cos \omega x \quad (1)$$

W : 垂直方向の変位、 x は水平方向の距離、 $A(t)$: 時間 t における振幅、

ω : 波数

この式から Biot は出発して、次式を導いた。(Biot, M. A. 1961)

$$\dot{A}/A = P / \left(\frac{4\eta_1}{h\ell} + \frac{1}{3} \eta_2 h^2 \ell^2 \right) \quad (2)$$

\dot{A} : 振幅の成長の割合

P : longitudinal stress.

Sherwin と Chapple は thickening と shortening を考慮に入れ、次の式を仮定した。

$$h = h_0 \exp(-pt/4\eta) : L = L_0 \exp(-pt/4\eta) \quad (Biot, 1965)$$

この場合、crest と limb との thickening の差は無視したから、この仮定も、低振幅時ののみ有効である。

次の様に定義する。

$$n = \eta_1/\eta, \lambda = h\ell, \lambda_0 = h_0\ell_0, \lambda = \lambda_0 \tau, \tau = \frac{p}{\ell^2 \eta} t,$$

ただし、 τ は quadratic elongation (二次の伸び、Jaeger 1962 参照)

以上を用いて前式を書きなおすと、

$$\dot{A}/A = \frac{p}{\eta} \frac{10^2 \tau^2 + 4n}{3} \frac{1}{\lambda_0 \tau} \quad (3)$$

時間 t が、 τ ではかることができれば、前式(3)は、 $\frac{dA}{A} = \lambda_0 d\tau / (2n + \frac{1}{6} \lambda_0^3 \tau^3)$ と書きかえられ、これを積分して、次式が得られる。

$$\ln \frac{A}{A_0} = \int_1^T \frac{\lambda_0 d\tau}{2n + \frac{1}{6} \lambda_0^3 \tau^3} \quad (4)$$

A_0 : $\tau = 1$ のときの振幅; T : τ の最終値
卓越波数を求めるために、(4)の右辺を、微分し、○とおくと、

$$\lambda_0^3 = 12n \frac{1}{T(T+1)} \quad (5)$$

実際に観察される（最終）波長と厚さの比較に便利なように ($\tau = T$) かきかえると、

$$\lambda^3 = \lambda_0^3 \tau^3 = 12n \frac{T^2}{T+1} \quad (6)$$

(6)は、層の短縮が直接計られるとき、 η/η_1 を決めるのに用いられる。そうでないときは短縮よりも、卓越波長の amplification をみるのに便利である。

(5)で与えられた A_0 を、(4)に代入すると、卓越波長の amplification が求まる。

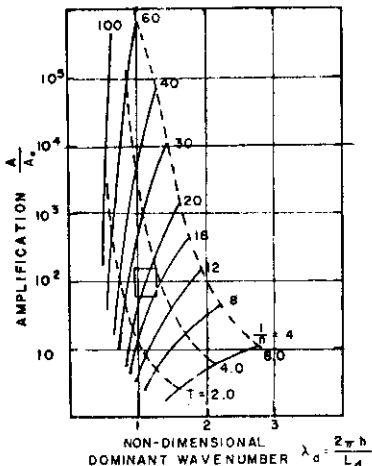
$$\ln \frac{A}{A_0} = \frac{1}{n^3} \left[\frac{3}{2T(T+1)} \right]^{\frac{1}{3}} \int_{1+\frac{1}{T+1}}^T \frac{d\tau}{\tau^3} \quad (7)$$

(6), (7)を数値的に解き、解を fig.1 に示した。

卓越波長とその amplification は地質学的に求まるから、fig.1 を用いれば η/η_1 が求まる。Table 1 に示されたように、前述の例では粘性係数比は約 20~30 となる。波長一層厚比は平均して 5 ぐらいであるから、Biot の値より小さく、比較的大きな短縮を示す。fig.1 からわかるように $\eta/\eta_1 > 100$ のとき卓越波数 λ_d は amplification に独立で、この範囲では Biot の理論がなりたつが、実際には以上の例で示されているように、そのような大きな粘性係数比は存在しない。

Table 1

Sample	Number of folds	Mean L / h	η/η_1		Quadratic amplification (present elongation theory)	T
			(Biot wavelength theory)	Assumed equation 1		
Sprague Upper Reservoir						
phyllitic matrix	473	5.5	4	80	19	3.1
sandy matrix	142	4.5	2	80	14	4.1
Vermont						
group 1	82	5.2	3	80	17	3.3
group 2	9	6.8	8	200	30	2.7
group 3	83	5.1	3	80	17	3.4
Martinsburg Shale	12	4.0	2	200	15	5.7
Nassau Beds	17	5.7	4	200	23	3.3



（加藤 真一）

M. Minato and M. Hunahashi (1970). 地殻の起源とその進化
(Origine of the Earth's crust and its evolution)
Jour. Fac. Sci. Hokkaido Univ., Vol. XIV, No. 4, 515-561.

日本の安部族造山帯および日高造山帯のような代表的造山帯の中軸部にみられる、ミグマタイト、片麻岩および再生花崗岩を含めた花崗岩類は、今日、地向斜堆積物が広義の造山時火成活動によって再溶融したものと信じられている。日本の上述の代表的フィールドでの観察と室内研究から、著者は現在、造山運動の過程で花崗岩化作用が花崗岩質地殻を形成するという理論を受入れる立場に立っている。事実、アジア大陸のクラトン的地域、準クラトン的地域あるいは古い造山帯においてはかりでなく、日本列島のようなより若い造山帯においてさえもその基盤は主として先カンブリアの花崗岩質岩類から成っている。従って、そのような古い時代にも、地向斜堆積物を供給する地域が存在したに違いないし、堆積物を蓄える海もまた存在したに違いない。かくして、地質時代に先立つ最初の海と大陸が問題になってくる。最近の先カンブリア地質学の進歩によって、始源大陸が現在の太平洋に存在し、一方、現在の大陸は海水下即ち始源大洋下にあったであろうということがいえる。この仮説は 1964 年に、F.A. Vening Meinesz によって提出された、地球の初期段階の構造と内部の運動に関する有名なモデル

によく一致する。即ち、核がまだマントルから分離していない時、地球内部の single cell の対流により、地球の半球は大陸となり、他の半球は大洋となったのである。これは地球の歴史の月段階 (lunar stage) と呼んでもよいであろう。始源大洋は徐々に大陸地殻から成る大陸になり、他方、始源大陸は大洋即ち現在の太平洋となった。先カンブリア紀後期以来、地殻発展の主要な過程は新らしい造山運動と、広義の大洋化作用によって引起された大陸地殻の再構成であり、大洋もまた、大陸の造山運動に歩調を合わせた、海膨、海嶺および海溝の出現によって繰返し構成直された。これらの運動の主要な原因是、地球内部の運動であったが、対流運動そのものは核の成長によって時代を経るに従い、より複雑になったであろう。今日みられる地球は、このような変遷の間の瞬間的な姿にすぎず、過去の長い複雑な歴史によって作られたものである。種々の地質学的データーから、著者は、詳細な点では大陸移動および大洋底拡大の仮説と全く同じではないが、地殻の水平方向の運動が存在することを認めるものである。

(原文の要約を訳したもの、杉山 明)

Journal of Geology. 77. 1-6 1969

11. 1

G.W. Devore, 力学平衡の表現としての非静水圧に関連した多鉱物岩石の方向性をもつ鉱物分布, p. 26-38.

A.G. Milnes, 中央アルプスの造山運動史に關して, p. 108-112.

11. 3

B.A. Sturt, 走向断層変形とアルマンダイン一角閃石相の再加熱による再結晶, p. 319-332

F.N. Marray, コロラドのグランド・ホグバッック単斜における断層を受けた溶岩流にみられる flexural slip, p. 333-339

11. 4

N.C. Gay, 変形した礫による東部トランスペールのバーベルト山地での歪み解析, p. 377-396

P.F. Williams, etc, 堆積岩中の cleavage と堆積時の変形, p. 415-425.

E.R.Neumann, ドロマイトの再結晶実験と変形した岩石中のカルサイトとドロマイトの方向性、p.426-438.

No. 6

A.H.Mitchell & H.G.Reading, 大陸外縁、地向斜および海洋底拡大、p.629-646.

Journal of Geology, 78, 1~5, 1970

No. 2

P.A.Rona, ハテラス岬沖の大陸斜面上部の海底峡谷の成因、p.141-152

P.Freund, 南イラン、シスタンの水平ずり断層の回転、p.188-200.

D.M.Ramsay and B.A.Sturt, ノルウェイ、マグレイのシルル紀の polymict 磨の多相変形、p.264-280.

No. 4

A.A.Me erhoff, 大陸漂移、II：高緯度の蒸発成堆積物、および南極海と北部大西洋の地史、p.406-444.

A.M.Ziegler, シルル紀におけるイギリス本島の地向斜発達、p.445-479.

No. 5

N.C.Gay, 鏡肌もつ剪断面上の階段状構造の形成、p.523-532.

(山内 靖喜)

Marine Geology.

7.1-6.1969

No. 2

A.Kermabon 他 3 名, チレニア深海面の深海堆積物の音響学的および物理的特性、p.129-146.

No. 5

K.Bostrom and M.N.A.Peterson, 東部太平洋の高熱流量地域の貧アルミ鉄マンガン堆積物の起源、p.427-448.

No. 6

R.von Huene, マライ破碎帶とトランバース山地間の地質構造、p.475-500.

8.1-5.1970

No. 1

C.C.von DEL Borch, J.R.Conolly, R.S.Dietz, 南オーストラリア、オタワ海盆周辺の大陸外縁の堆積作用と構造、p.59-84.

M.S.Marlow 他 6 名, バルディル凹地—アラスカ、アリューシャン海嶺の後期第三紀の地

溝、p.85-108.

No. 2

N.I.Christensen, 太洋地殻の組成と進化、p.139-154.

No. 3 / 4

海底峡谷に関する特別号

9.1-4.1970

No. 3

G.H.Keller and R.H.Bennett, 海底堆積物の塊の物理的特性の変動、p.215-223.

No. 4

K.Konishi, S.O.Schlaeger, and O.Omura, サンゴの ^{230}Th 年代測定による中央琉球列島のネオテクトニックの速度、p.225-240.

(山内 靖喜)

Geological Magazine.
106. 1-6. 1969

No. 1

Elsdon, R. : 東部グリーンランドにおける
Kap Edvard Holm 層状はんれい岩類の構造
と選入機構, p.46-56.

Schermershorn, L.J.G. & Stanton, W.I. :
Aljustrel (南ポルトガル) における褶曲し
た衝上断層, p.130-141.

No. 6

James, David M.G. & James, Joan. : ウェー
ルズにおける Ashgilliam-Llandoverian 階の
堆積作用に与えた深部破断の影響, p.562-
582.

Helm, Douglas G. : Black Combe 内陸湖
における Skiddaw 層群中の顕微鏡的・肉眼的
fabrics, p.587-594.

107. 1-2. 1970

No. 1

Kumar, Surendar. : Oolite と変形, p.31-
37.

Warrn, P.T., Harrison, R.K., Wilson, H.E.,
Smith, E.G. & Nutt, M.J.G. : 北ウェールズの
Denbighshire におけるシルリア系岩石類中の
tectonic ripple とそれに関連した小構造現象
象, p.51-60.

Bennett, J.D. : 北東ボツワナの Mosetse-
Matsitama 地域にみられる可動帯とクラトン
との関係, p.113-123.

Wright, J.B. : 大西洋海嶺と Kenya Rift
Valley 周辺における火山岩類の分布, p.125
-131.

(角田史雄)

Tectonophysics. 9 1 - 6 1970

No. 1

Gribidenko, H.S. and Shashkin, K.S. : 地向
斜理論の基本的原理, p.5-14. Cheh Pan :

Tablet, C.J. : 変形された石英脈を用いた
最小歪橢円, p.47-76.

No. 2/3

Boulanger, Yu.D., Pevnev, A.K., and Erman
: Garm および Nimichi polygous における近
年の地殻運動の変化について p.103-112

Evison, F.F. : 地震発生, p.113-128.

Arsovsky, M., and Hadzievsky, D. : Macedonia
のネオテクトニクスとサイスマティティ
の関係, p.129-142.

Ambraseys, N.N. : Anatolian 断層帶のいく
つかの特徴的な形態, p.143-166.

Nagata, T. : メカニカルな応力下での岩石
の基本的性質, p.167-196.

Rikitake, T. and Yamazaki, Y. : 比抵抗計に
よって観察されるような歪のステップ, p.

197-204.

Healy, J.H., Hamilton, R.M. and Raleigh, C.
B. : 流体の注入と爆発によっておこった地震
p.205-214.

Rothe, J.P. : 人工地震, p.215-238.

Latynina, L.A., and Karmaleyeva, R. M.
: 強震前の地殻歪の変化におけるある異常につ
いて, p.239-248.

Fedotov, S.A., et al : カムチャッカにおける地
震予知研究, p.249-258.

Eaton, J.P., Lee, W.H.K. and Pakiser, L.C.
: 中部カリフォルニアのサン・アンドレアス
断層に沿う地震発生機構の研究における微小
地震の使い方について, p.259-282.

Oliver, J. : アメリカ合衆国の近年の地震予
知研究, p.283-290.

Kanamori, H. : 日本の地震予知研究の近年の
発展, p.291-300.

No. 4

Balakrishna, S. and Gowd, T.N. : Koyna の

- transcurrent faulting のメカニクスにおける流圧圧の役割, p.301-322.
- Udias, A. and Lopez Arroyo, A : 1964 年 3 月 15 日スペイン地震のソース・パラメーターの実体波と表面波の研究, p.323-346.
- Brookfield, M.E. : ジュラ紀における海水準のコースタティク変化と造山運動, p.347-364.
- Mac Gillavry, H.J. : 亂泥流堆積物と地向斜の歴史, p.365-394.
- ¶. 5.
- Gilkson, A.Y. : 初期先カンブリア系の地向斜の進化と地球化学的類似, p.397-434.
- Walcott, R.I. : ハワイにおけるリソスフィアの破断, p.435-446.
- Slobodskoy, R.M. : 花崗岩質バソリスの接触縫内のブティグマティック岩脈の起源, p.447-458.
- Bayly, M.B. : セブロン褶曲の測定からみつまる粘性と異方性, p.459-474.
- Byerlee, J.D. : スティック・スリップのメカニクス, p.475-486.
- ¶. 6.
- Belousov, V.V. : 大洋底拡大説への反論 p.489-512.
- Guibidenko, H.S. : パシフィック・ベルトの北西区の基盤について, p.513-524.
- Currie, K.L. and Ferguson, J. : 岩脈のオフェットによって示される Imporphyre 岩脈の貫入のメカニズム, p.525-536.
- Schwerdtner, W.M. : レンズ状ブーディンと曲げ褶曲内の軸方向の有限歪の分布, p.537-546.
- Teissseyre, R. : 断層面に沿った変位の集中によってひきおこされたクラックの形成とエネルギーの解放, p.547-558.
- Ghosh, J.K. : intersecting 褶曲バーンの理論的研究, p.559-571.

(加藤 碩一)

H. Ramberg の褶曲関係文献リスト

- (1945) On the theory of the origin of folded mountains.
Norak. Geol. Tidsskr., 25, p.307-326.
- (1945) The thermodynamics of the earth's crust.
Norsk. Geol. Tidsskr. 25,
- (1955) Natural and experimental boudinage and pinch- and swell structures. Jour. Geol. 63, p.512-
- (1959) Theoretical and experimental studies of ptygmatic folding. Norsk. Geol. Trdsskr. 29, p.99-151.
- (1959) Evolution of ptygmatic folding. Norsk. Geol. Tidsskr. 39, p.99-151.
- (1960) Relationships between length of arc and thickness of ptygmatically folded veins. Am. Jour. Sci. 258, p.36-46.
- (1961) Relation between concentric longitudinal strain and concentric shearing strain during folding of homogeneous sheet of rocks. Am. Jour. Sci. 279, p.382-390.
- (1962) Contact strain and folding instability of a multilayered body under compression. Geol. Rundschau, 51, p.405-439.

- (1963a) Fluid dynamics of viscous buckling applicable to folding of layered rocks. Bull. Am. Assoc. Petrol. Geol. 47, p.484
- (1963b) Experimental study of gravity tectonics by means of centrifuged models. Bull. Geol. Inst. Univ. Upsala 42, 1.
and Stephansson, O. (1964)
- Compression of floating elastic and viscous plates affected by gravity, A basis for discussing crustal buckling.
Tectonophysics, 1, p.101-120.
- (1964a) Strain distribution and geometry of folds. Bull. Geol. Inst. Univ. Upsala, 42, 1.
- (1964b) Selective buckling of composite layers with constricted rheological properties., A theory for simultaneous formation of several orders of folds. *Tectonophy.* 1, p.307-341.
- (1964c) A model for the evolution of continents, oceans and orogens.
Tectonophy. 2, p.159-
- and Stephansson, O. (1965)
- Note on centrifuged models of excavations in rocks.
Tectonophy. 2, p.281-
- (1965a) The effect of gravity on folding and other deformations in the earth's crust. Bergmekanik, IVA Medd. 142, p.40-
- (1965b) Experimental models of fold mountains. Geol. Foren Stockholm Forh. 87, p.484-
- (1966) The scandinavian caledonides as studied by centrifuged dynamic models. Bull. Geol. Inst. Univ. Upsala 43, 1
- (1967a) Model experimentation of the effect of gravity on tectonic processes. Geophys. J.R. astr. Soc. 13
- (1967) Gravity, Deformation and the Earth's Crust.
Academic Press Inc. London
- (1967) The fluid-dynamic theory of dome formation.
文獻ノゾム
- (1968) Fluid dynamics of layered systems in the field of gravity, A theoretical basis for certain global structures and isostatic adjustment. Phys. Planet .Interiors 1, p.63-87.

Geodynamics project (G.D.p.)について

1. 経過

I U G G¹⁾ および I U G S²⁾ は U M P の成功を高く評価して、固体地球に関する新しい長期研究計画を呼びかける決議をその母体機関である I C S U³⁾ に対し 1968 年におこなった。 I C S U がこの決議を認め、 I U G G と I U G S はこの提案に関する特別委員会を任命した。また I U G G と I U G S は 1969 年 2 月および 5 月に開かれた特別委員会の報告に基づいて、 I C S U に対し “Geodynamics Project” (略称 G D P) を推進するため I C S U に Inter Union Commission を設立することを要請した。 1970 年 2 月 I C S U の役員会はこれをみとめ、 1970 年 10 月の I C S U 総会においてこの Inter Union Commission on Geodynamics (略称 I C G , 委員長 C.L.Drake) は正式に承認された。さらに I C S U は各国に対し、 Geodynamics Project への参加を呼びかけ、国内委員会の設立をうながした。

注 1) 国内対応体は学術会議 地球物理研究連絡委員会

2) 国内対応体は学術会議 地質学研究連絡委員会

3) 国内対応体は学術会議

2. わが国における計画の推進

わが国からは上記の特別委員会に力武常次が参加し、 G D P 計画の国際的立案には当初から参画してきた。また、これと並行して、国内の G D P 計画受け入れ態勢をととのえるために、 1970 年春、日本学術会議、国際地球観測特別委員会 U M P 部会の中に Geodynamics Project 準備小委員会を設け、力武が小委員長となり、数名の小委員を指名した。しかし、 1970 年 10 月の I C S U 総会決議に基づく日本学術会議会長までの正式の呼びかけまでは、特別に活動することなく、国際的な

事態の推移をまっていた。今回その呼びかけにこたえるべく、この G D P 準備小委員会を拡大強化すべく、 U M P 部会長は地物研連、地質研連に新たに委員の推薦を依頼した。

1970 年 12 月現在、 G D P 準備小委員会の構成は以下の通りである。

委員長：力武常次

地物研連推薦委員：檀原毅、浅田敏、竹内均、鈴木次郎、下鶴大輔、奈須紀幸

地質研連推薦委員：牛来正夫、松本隆、松田時彦、黒田吉益、小林勇、荒巻重雄、

鉱物研連推薦委員：貞永両一、小泉光恵

古生物研連推薦委員：木村敏雄、橋本亘

この他に海洋特委推薦委員若干の参加が予定されている。

G D P 準備小委員会の当面の課題は、本年 4 月の日本学術会議総会で政府に対し、 G D P 計画の実施について勧告がおこなわれるよう準備をすすめることである。もし、日本学術会議の勧告がおこなわれたならば、その時点でこの小委員会は解散し、新たに正式の G D P 国内委員会が設けられる予定である。

3. G D P 計画案

G D P 計画を要約すれば、地球内部の動力学的挙動および地球の動力学的历史に関する国際研究計画であり、岩石圈の過去および現在の運動および変形に関する研究や、地球内部の種々の物性研究を包括している。 I C G では当面緊急な研究課題として以下の課題をあげている。

1) 活動地域に関する総合的研究

a) 西太平洋 b) 東太平洋 c) アルプス - ヒマラヤ系 d) 大陸および海洋の大地溝

2) 地球内部の運動に関する基礎的研究

a) 地球内部構成物質の物性に関する室内実験 b) 地球深部の鉱物学 c) 地球内部

に関連する各種の場の研究

3) 非活動地域に関する研究

- a) 地震活動の少ない大陸周辺の鉛直運動
- b) 高原や盆地の鉛直運動

4) 地質時代の活動に関する研究

- a) 古地磁気と過去の運動
- b) 地溝帯両側の地質学的対比
- c) 造山帯の火成作用、変成作用、構造運動の関連

また I C G は U M P 期間中重要視された

Geotraverse, 高圧実験、データ交換等は G D P 計画においても、その高い活動度を維持発展すべきこと、また新たに、月あるいは惑星に関する知識の応用についてもその重要性を指摘している。

G D P 計画は1971年を立案および準備期間とし、1972～1977年の6ヶ月間を研究実施期間とすることが I C G によって勧告されている

4 わが国の第1回素案

以下の素案は、G D P 準備小委員会の小林勇（代 猪木幸男）、松田時彦（代 藤田至則） 星野通平 奈須紀幸、荒牧重雄、黒田吉益の6委員と地質研連委員長立見辰雄とでまとめたものに、牛来、松本両委員の意見を加えたものを委員長のもとへ提出したものである。

また、実施を望まれるテーマがあれば、その内容（予算を含む）を小林勇委員宛に申し入れて下さい。

I 西太平洋の海底の研究

- 1) 海底地形調査
- 2) 海底堆積物
- 3) 海底岩石

II 地球内部の運動に関する基礎的研究

- 1) 超高圧高温発生手段の開発
- 2) 高温高压下における岩石鉱物の力学的性質（弹性、塑性、粘性、壊撃特性）の研究

3) 高温高压下における岩石鉱物の電磁的性質の研究

4) 高温高压下における岩石鉱物の熱的性質（比熱、熱伝導度、熱膨張）の研究

5) 高温高压下における珪酸塩、酸化物の相転移、相平衡に関する研究

6) 地殻および上部マントルの条件下の実験岩石学

7) 地球内部に由来すると思われる岩石鉱物の物理化論的研究

8) 高温高压下における珪酸塩、酸化物の相変化の反応速度論的研究

9) 地球内部の対流に関する高速計算機を用いたモデル実験

III 島弧ならびにその周辺部の地質学的地球物理学的研究

1) 日本列島の大陸側と大洋側における構造運動の火成作用と変成作用の対応性ならびにそれを規定した深部変動などの地史的変遷

2) 隣接する島弧間および大陸と日本列島間ににおける転移とその機構

3) 中深部地殻構造の解明（特に火山を中心とした地下構造）

4) マグマ発生の時間的空間的分布

5) ネオラクトニックスと深発地震面

○東教大構造ゼミ 夏の学校

東教大構造地質ゼミナールの恒例の夏の学校が昨年夏に房総半島鵜原で3日間にわたって開かれました。夏の学校も第4回目なので、広く全国の会員に参加を呼びかけたので、地調と新潟大からの参加がありました。東教大からは構造研メンバーの他に、学生と会員の家族の方々の参加もありました。とくに、女子高校生が6人参加したので、リクレーションの時間は大変楽しいものになりました。

勉強の方は2日間にわたって行なわれ、各自の研究紹介、論文紹介が行なわれた。とく

新潟大学に三軸圧縮試験機入る

昨年度の科学費一般研究A(1000万円)で新潟大学理学部構造地質研究室に高圧岩石三軸圧縮試験機が入ることになった。現在、島津製作所で製作中で、5月初旬に納入されるとのこと。大体の仕様は、軸圧50ton、封圧3Kbar、温度200℃、ひずみ速度10⁻⁷、試料19.5mm×39mm。この機械の特徴は加熱できることで、おそらく日本では初めてであろう。今後、同研究室の活躍がのぞまれる。

編 集 後 記

本号で第10号となりましたが、実は途中の第8号をとばして第9号を印刷してしまったのです。しかし、内容は今までになく充実したものにしたつもりです。今後、連絡紙の編集は新潟大の会員の方がたでやることになりました。親潟大の会員のみなさん、がんばってこれまでよりもすばらしい連絡紙にして下さい。

(東京教育大 山内)

1971年4月5日発行

編集発行 川崎市久本135 地質調査所地質部

構造地質研究室内

構造地質研究会

事務局 東京都文京区大塚3-29-1 東京教育大学

理学部地質礦物教室

藤田至則研究室内